

## 細長比パラメータが大きい電縫鋼管の正負交番載荷実験

JFEシビル（株） 正会員○尾添 仁志 国立研究開発法人 土木研究所 正会員 飯島 翔一  
 国立研究開発法人 土木研究所 正会員 河野 哲也 国立研究開発法人 土木研究所 非会員 七澤 利明  
 (株)オリエンタルコンサルタント 正会員 大森 貴行 早稲田大学創造理工学科 正会員 小野 潔

### 1.はじめに

山岳地で施工条件の制約が大きい場合に採用されることのある桟橋形式の道路構造物では、橋脚として SKK400 及び SKK490 の鋼管杭が用いられる。電縫鋼管が適用される場合があるほか、細長比パラメータ $\lambda$ は一般の橋脚より大きく、その耐震性能は既往の研究において十分に明らかにされているとは言い難い。本報では、当該橋脚の弾塑性挙動を明らかにすべく実施した正負交番載荷実験について報告する。

### 2.実験の概要

#### 2.1供試体

実験供試体は表-1に示す3体とし、鋼管はJIS規格のSKK490の電縫鋼管とした。なお、 $t=6mm$ の供試体は、同一鋼番の鋼管により製作した。鋼管軸方向から採取した試験片による引張試験の結果は図-1に示す通りで、いずれも公称値での降伏比と比べて大きく、板厚が厚いほど顕著であった。

供試体1-1の寸法諸元は、実験の指標とするため道示Vで規定される円形断面のコンクリートを充填しない鋼製橋脚の適用条件を満足するように設定した。1-1に対して、2-1は適用条件外で $\lambda$ が大きく、2-2はさらに $R_t$ が小さくなるように設定した。

#### 2.2載荷方法

載荷方法は、既往の研究と同様に図-2に示す通り一定軸力を保持した状態で水平力は正負交番繰り返し載荷とした。一定軸力は設計で想定する最大値とし、1-1は公称降伏軸力の20%、 $\lambda$ が大きい供試体では15%に相当する荷重とした。水平力は変位制御で与えることとし、その大きさは基準とする水平変位 $\delta$ の整数倍を片振幅として、 $\pm 1\delta, \pm 2\delta, \dots$ の要領で漸増させた。

### 3.実験結果

$\lambda$ が大きい2-1の水平荷重-水平変位関係の実験結果は図-3に示す。最大水平荷重点付近の供試体の基部近傍には面外変形を確認した。その後、局部座屈の進展に伴って水平荷重が低下した。座屈モードとしては、鋼管の全周方向にわたり外側にはらみ出す提灯座屈であり、水平載荷方向に配置した電気抵抗溶接部も一般部と同様であった。この挙動はすべての供試体に共通して認められた。

キーワード：細長比パラメータ、電縫鋼管、正負交番載荷実験、耐震性能

連絡先：〒111-0051 東京都台東区蔵前2-17-4 JFEシビル株式会社 社会基盤事業部 TEL 03-3864-7317

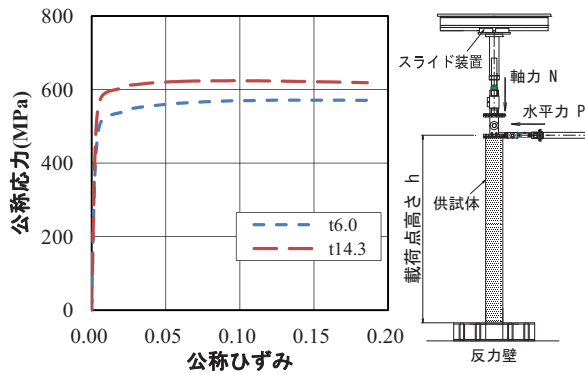


図-1 引張試験結果

図-2 実験状況

表-1 供試体諸元

供試体	1-1	2-1	2-2
直径 $D$ (mm)	318.5	318.5	318.5
板厚 $t$ (mm)	6.0	14.3	14.3
載荷点高さ $h$ (cm)	157.0	348.0	348.0
鋼種	SKK490	SKK490	SKK490
降伏応力 $\sigma_yM$ (Mpa)	487	553	553
引張応力 $\sigma_uM$ (Mpa)	570	623	623
径厚比 $\lambda$ マーク $R_{tN}$	0.068	0.028	0.028
$R_{tM}$	0.105	0.049	0.049
細長比 $\lambda$ マーク $\tilde{\lambda}_{tN}$	0.357	0.792	0.814
$\tilde{\lambda}_M$	0.444	0.985	1.079
軸力比 $N/N_{yN}$	0.20	0.15	0.15

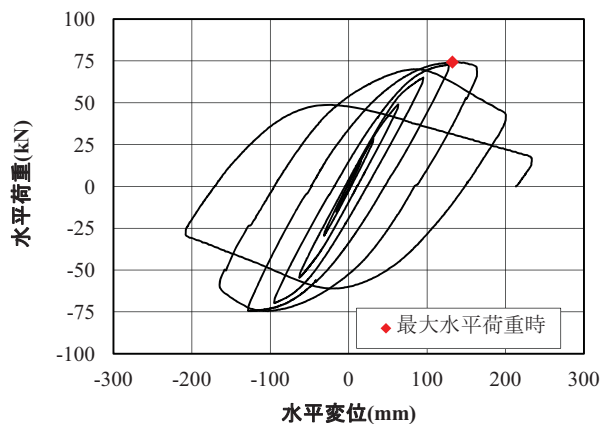


図-3 水平荷重-水平変位関係（供試体2-1）

水平荷重－水平変位関係の正側載荷の結果を降伏水平力  $P_{yM}$ 、降伏水平変位  $\delta_{yTM}$ で除して無次元化した包絡線は図-4に示す。なお、 $P_{yM}$ および  $\delta_{yTM}$ は材料降伏応力度  $\sigma_{yM}$ を用いて算定した。また2-2の包絡線は、最大水平荷重点を確認後、軸力ジャッキのスライド装置の可動限界の都合により、局部座屈が進展し耐荷力が大きく劣化するループまでは載荷していない。水平荷重  $0.2\sim0.4P_{yM}$ の範囲で比較した実験初期剛性は、指標とする1-1と比較して2-1および2-2は良く一致しており線形である。それ以降は  $\bar{\lambda}$  の影響を受けて1-1より早い段階で非線形性が現れる。

最大水平荷重  $P_{max}$  および最大水平荷重時変位  $\delta_m$ について、SM490を対象とした以下の式<sup>1)</sup>による予測曲線と実験結果を比較したもの、それぞれ図-5および図-6に示す。

$$P_{max}/P_y = 0.07 \times \frac{1}{R_t^{3/4} \bar{\lambda}^{1/4}} + 1.00 \quad (1), \quad \delta_m/\delta_y = 0.53 \times \frac{1}{R_t^{3/4} \bar{\lambda}^{1/4}} - 0.55 \quad (2)$$

ここに、 $0.04 \leq R_t \leq 0.12$ ,  $0.285 \leq \bar{\lambda} \leq 0.503$ ,  $0.10 \leq N/N_y \leq 0.30$

予測式の適用条件を満足する1-1の耐荷力および変形性能は、予測曲線と良い一致が見られる。一方、 $\bar{\lambda}$  が大きい2-1は1-1と比較して耐荷力および変形性能は低下している。また  $R_t$  が小さい2-2は2-1と比較して耐荷力および変形性能は同程度である。一般にSM490の鋼板を用いたベンディングロール鋼管の場合は、 $R_t$  を小さくすると耐荷力および変形性能が向上するが、当該供試体は図-1に示した通り降伏比が高いことが実験結果に影響していると考えられる。なお、一般に電縫鋼管は造管時の塑性加工の影響により降伏比が高くなる傾向はあるが、当該供試体の鋼管は特に値が高かった。

#### 4. 許容変位時に対応するひずみの試算

鋼製橋脚の正負交番載荷実験の結果に基づき、既往の  $M\varphi$  モデル設定手法<sup>2)</sup>により許容変位  $\delta_a$  時に対応するひずみ  $\varepsilon_a$  を試算した。 $\varepsilon_a/\varepsilon_y$  と材料降伏応力度  $\sigma_{yM}$  を用いて計算した径厚比パラメータ  $R_{IM}$ との関係は図-7に示す通りである。図中には道示Vで規定される算定式も併記しており、1-1の  $\varepsilon_a$  はその延長線上付近にプロットされる。一方、2-1の  $\varepsilon_a$  は1-1と比べると  $\bar{\lambda}$  の影響により僅かに低下している。2-2の  $\varepsilon_a$  は耐荷力および変形性能の結果と同様に、降伏比の影響により2-1の試算値と同程度となった。

#### 5. 結論

円形断面のコンクリートを充填しない鋼製橋脚において、 $\bar{\lambda}$  を大きくすると耐荷力および変形性能が低下することを確認した。今後、実験結果について詳細に検討を行うとともに、降伏比の異なる電縫鋼管の耐荷力および変形性能について検討を行う予定である。

**【参考文献】** 1)後藤芳顯、江坤生、小畠誠：2方向繰り返し荷重を受ける薄肉円形断面鋼製橋脚柱の履歴特性、土木学会論文集、No.780/I-70, PP181-198, 2005.1. 2)小野潔、西村宣男、西川和廣、高橋実、中洲啓太：円形断面鋼製橋脚の正負交番載荷実験結果に基づく  $M\varphi$  モデル設定手法に関する検討、鋼構造論文集、第8巻第31号、2001.9.

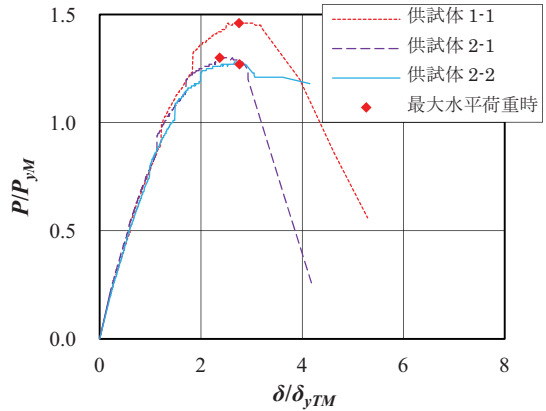


図-4 包絡線の比較

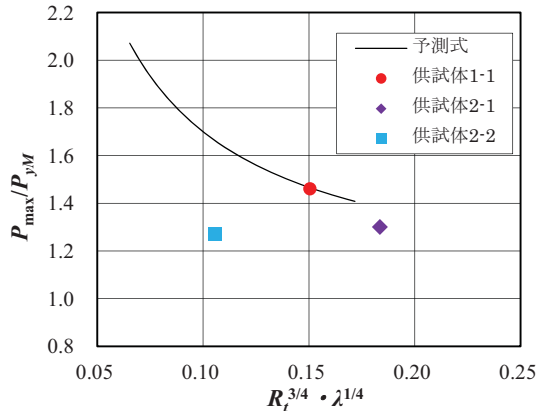


図-5 最大水平荷重の比較

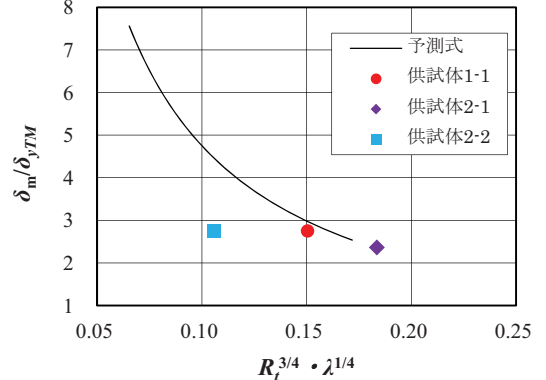


図-6 最大水平荷重時変位の比較

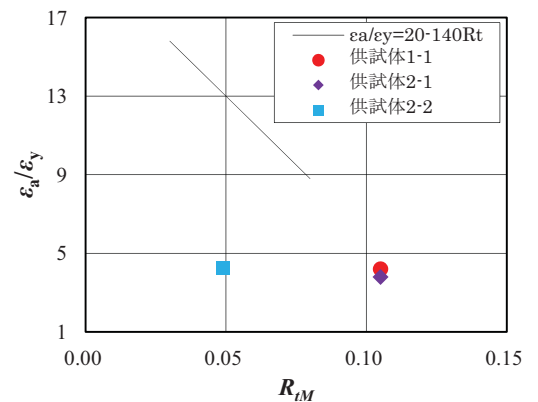


図-7  $\varepsilon_a$  の試算結果